

ارزیابی زمین‌ساخت حوضه‌های آبریز با استفاده از اختصاصات ژئومورفولوژیک در قالب الگوی TecDEM (مورد مطالعه: حوضه آبریز رودک در شمال شرق تهران)

ابوالقاسم گورابی* - استادیار گروه جغرافیای طبیعی، دانشگاه تهران
فاطمه کیارستمی - کارشناس ارشد مخاطرات طبیعی، دانشگاه تهران

پذیرش مقاله: ۱۳۹۳/۰۳/۲۳ تأیید نهایی: ۱۳۹۴/۰۳/۱۶

چکیده

شناخت نواحی زمین‌ساختی فعال، بهویژه در زون‌های ساختاری همگرا به‌سبب قابلیت مخاطره‌آمیز بودن شایان توجه آنها اهمیت زیادی دارد. از سوی دیگر، به‌دلیل محدودیت‌های فیزیکی، بررسی‌های میدانی در این نواحی با توپوگرافی خشن و متعارض، دشوار است. در این پژوهش، با استفاده از روش‌های دورسنجی، ژئومورفومتری و کارهای میدانی، اختصاصات مورفومتریک و ژئومورفولوژیک حوضه رودک در شمال شرق تهران در قالب الگوی TecDEM که در نرم‌افزار متنب^۱ اجرا شده، از داده‌های رقومی (الگوی رقومی ارتفاع) استخراج و تجزیه و تحلیل شده است. در این الگو، از شاخص‌های نو مانند چولگی و کشیدگی نمودار هیبسومتری، شاخص فرورفتگی^۲، شب S و نقشه همپایه IsoBase MAP بهره گرفته شده است. نتایج بررسی و تجزیه و تحلیل عناصر ساختاری مورفو-تکتونیک استخراج شده مانند نیمرخ طولی رودخانه، جهت‌های حریان، مورفو‌لوزی حوضه آبریز، نقطه‌های عطف و تغییر شب، منحنی‌های هیبسومتری و مقدار کشیدگی و چولگی آن که حاصل کنش و واکنش نیروی‌های زمین‌ساختی است، بیان کننده تغییرات مورفو-تکتونیک فعال حوضه و کنونی آن است. نتایج بررسی‌ها در قالب الگوی TecDEM، پژوهش‌های میدانی و شواهد به‌دست‌آمده از طریق داده‌های ایستگاه ژئودینامیک گرمابدر، درستی الگو را در نشان دادن شرایط نووتکتونیک مناطق نشان می‌دهد.

کلیدواژه‌ها: الگوی TecDEM، تکتونیک ژئومورفولوژی، تکتونیک فعال، حوضه رودک، مورفو-تکتونیک.

مقدمه

نواحی بسیاری در سطح کره زمین وجود دارد که به‌دلیل محدودیت‌های موجود، نمی‌توانیم تکتونیک فعال و ژئومورفولوژی آنها را بشناسیم. از سوی دیگر، پیشرفت‌های صورت‌گرفته در زمینه دورسنجی و ژئومتری سبب شده است که علاوه بر کارهای میدانی برای بررسی تکتونیک فعال مناطق مختلف، بتوانیم از تصاویر ماهواره‌ای و نقشه‌های رقومی بهویژه الگوی رقومی ارتفاعی (DEM) برای تحلیل مقدار فعالیت نوزمین‌ساختی مناطق، استفاده زیادی کنیم. از این رهگذر، بررسی‌های زیادی در زمینه تأثیرپذیری شبکه آبراهه‌ها از فرایندهای تکتونیکی نواحی شده است. فعالیت‌های

* E-mail: goorabi@ut.ac.ir

نویسنده مسئول: ۹۱۲۷۲۷۴۴۸۷

1. Matlab

تکتونیکی، شبکه رودخانه‌ها را بی‌نظم می‌کند. بررسی طبیعت این بی‌نظمی، منشاً درک ارتباط با بزرگی و جهت فعالیت‌های تکتونیکی مناطق است؛ زیرا الگوی توسعه و تکامل شبکه‌های زهکشی، از جمله شاخص‌هایی است که به تعییرات حاصل از فعالیت‌های زمین‌ساختی بسیار حساس است (کلر و پینتر، ۱۹۹۶: ۱). پژوهش‌های انجام گرفته در سال‌های اخیر، حاکی از تأثیر فعالیت‌های نوزمین‌ساختی در شکل‌گیری سامانه‌های رودخانه است (ویرانت، ۲۰۰۳: ۱۵). امروزه، پژوهشگران از الگوریتم‌های مختلفی در قالب الحاقیه‌ها برای اجرا در نرم‌افزارهای مختلف به منظور تجزیه و تحلیل فعالیت‌های تکتونیکی استفاده می‌کنند؛ یکی از آنها که به تازگی برای تحلیل‌های ژئومورفیک استفاده شده، الحاقیه TecDEM است (گلئن و شهرزاد، ۲۰۱۱: ۲۱۵). در این الحاقیه در گام نخست، به منظور تهیه سامانه واحدی برای اجرای روش‌های بیشتری از تحلیل‌های تکتونیکی، توجه و تلاش زیادی شده است. الحاقیه TecDEM بر پایه نرم‌افزار متلب، در جهت فهم فعالیت‌های تکتونیکی مناطق، از الگوی ارتفاع رقومی DEM استفاده می‌کند. از قابلیت‌های این نرم‌افزار می‌توان به ایجاد نیمرخ طولی رودخانه، محاسبه جهت‌های جریان، استخراج حوضه‌های آبریز، تعیین نقطه‌های تعییر شیب، تهیه نقشه‌های همپایه و محاسبه شاخص‌های تکتونیکی اشاره کرد.

در اغلب پژوهش‌ها و بررسی‌های فعالیت‌های نوزمین‌ساختی و تکتونیکی از شاخص‌های تکتونیک ژئومورفولوژی استفاده شده است. تقابل بدون توقف بین فرایندهای تکتونیکی که متمایل به ایجاد توپوگرافی است، با فرایندهای سطحی که تمايل به از بین بردن آنها دارد، هسته اصلی تکتونیک ژئومورفولوژی را تشکیل می‌دهد (بوربانک و اندرسون، ۲۰۱۱: ۲۰۱). ارزیابی ساختمان‌ها و لندرفرم‌های زمین در طول تاریخ پیدایش آنها، موضوع دانش تکتونیک ژئومورفولوژی است (استنلی، ۲۰۰۰: ۳۲). تحلیل‌های مورفومتریک با استفاده از این شاخص‌ها به مثابة ابزارهای پایه برای شناخت تعییرات سریع تکتونیکی یا تخمین تعییرات نسبی تکتونیک فعال در منطقه‌ای خاص توسعه داده شده است (وریوس و زیگوری، ۲۰۰۴: ۱۷۰). این شاخص‌ها رابطه بین تکتونیک و عوارض سطحی را به خوبی نشان می‌دهد و با آگاهی از این ارتباط می‌توان حوادث تکتونیکی را از راه بررسی شکل‌ها و ناهمواری‌های سطح زمین تفسیر کرد (موریساوا و هاک، ۱۹۸۵: ۲۰۰). از مهم‌ترین ویژگی‌ها و محسان این شاخص‌ها، به سادگی نسبی در روش محاسبه، سرعت عمل زیاد در به کارگیری آنها برای بررسی مقدار فعالیت تکتونیکی مناطق مختلف، ارزیابی فعالیت تکتونیکی مناطق در زمان کوتاه، آسان‌تر کردن مقایسه منطقی و معقول لندرفرم‌ها در پژوهش‌های ژئومورفولوژی، تعیین مقدار لغزش به ویژه مقدار فرایش بر روی مناطق مورد بررسی و به کمینه رساندن سلیقه‌ها و نظرهای شخصی در پژوهش‌ها می‌توان اشاره کرد (حبيب‌اللهیان و رامشت، ۱۳۹۱: ۱۰۰).

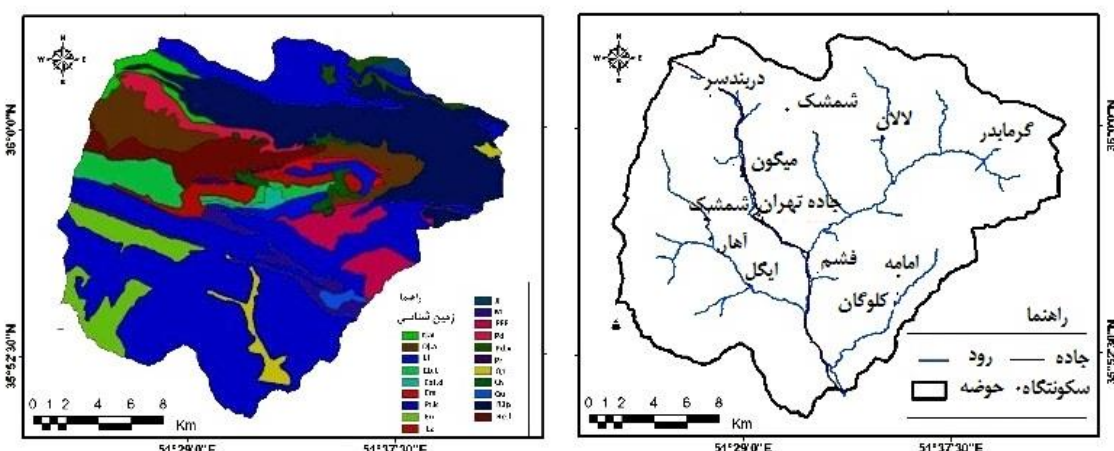
عمده بررسی‌های صورت گرفته برای سنجش مقدار فعالیت تکتونیکی با استفاده از شاخص‌های تکتونیک ژئومورفولوژی در ایران، بیان کننده حاکمیت فرایندهای تکتونیکی و تأثیرشان بر لندرفرم‌ها و زمین‌شکل‌های مناطق مختلف است. استفاده از شاخص‌های تکتونیکی، برای بررسی تکتونیک فعال ناحیه سروستان در زاگرس مرکزی، بیان کننده وجود پهنه‌های بسیار فعال منطقه است که عامل اصلی کنترل کننده توسعه و تکامل لندرفرم‌هاست (دهبزرگی و همکاران، ۲۰۱۰: ۱). بررسی مقدار فعالیت تکتونیکی دامنه‌های شمال غربی تالش (باغرودانگ) با استفاده از شاخص‌های سینوسیتۀ جبهۀ کوهستان، نسبت پهنانی کف دره به ارتفاع و گرادیان شیب رودخانه، بیان کننده وجود نیروهای تکتونیکی

در منطقه، بهویژه در بخش های جنوب شرقی است (مدید و مقدم، ۱۳۸۳: ۱۲۳). در تغییر و تحول مخروط افکنه جاگرود، افزون بر تأثیر فعالیت های اقلیمی و مداخله های انسانی، عامل تکتونیک نیز تأثیر بسزایی داشته است (مقصودی، ۱۳۸۷: ۷۳). از جمله موارد اثرگذاری تکتونیک بر شکل آبراهه ها، به رودخانه تجن در شمال کشور می توان اشاره کرد که به لحاظ طرح پیچان رودی، گذر از قطعات گسلی و برخی انفصال ها و انحراف ها در طول مسیر خود و ضرایب به دست آمده از شاخص های تکتونیکی، ثابت شده است که در مرحله جوانی به سر می برد (مقصودی و کامرانی دلیر، ۱۳۸۷: ۳۷). تأثیر حرکات راستالغاز راست بردر زاگرس شمال غربی بر کج شدگی حوضه آبریز چله واقع در ارتفاعات زاگرس به سمت راست، براساس شاخص عامل شکل حوضه به دست آمده است (یمانی و همکاران، ۱۳۹۲: ۲۳).

در این پژوهش، هدف اصلی بررسی مقدار فعالیت نوزمین ساخت و تکتونیکی در سطح حوضه آبریز رودک واقع در شمال شرق تهران، براساس محاسبات تحلیلی و گزارش های نهایی به دست آمده از پژوهش های میدانی و تحلیل های TecDEM است.

منطقه پژوهش

حوضه آبریز رودک با مساحت ۴۱۷/۵ کیلومترمربع از نظر تقسیمات زمین ساختی، جزء ایالت لرستان زمین ساختی البرز- آذربایجان است؛ ایالت لرستان زمین ساختی البرز- آذربایجان، پهنه ای زلزله خیز است که رشته کوه البرز، بخش شرقی این ایالت را در بر می گیرد (کره ای و کیانی، ۱۳۸۳: ۳۲). همچنین، محدوده حوضه آبریز رودک در ارتفاعات جنوبی البرز مرکزی قرار دارد و بخش اعظم این حوضه را توفه های سبز ضخیم و شیل توفدار (سازند کرج) در برگرفته است (شکل ۱). به لحاظ هیدرولوژیکی، این حوضه یکی از زیر حوضه های حوضه آبریز جاگرود است که شاخه شرقی رودخانه جاگرود در آن جریان دارد؛ «این رود از ارتفاعات کلون بستک سرچشممه می گیرد و پس از عبور از دریندسر، شمشک، میگون و فشم با شاخه دیگری که از به هم پیوستن شاخه های فرعی آب نیکا، لالان و روتہ به وجود آمده، متصل گردیده و به نام جاگرود خوانده می شود. رود آهار از سمت جنوب و امامه از سمت شمال به آن متصل شده و رود به سمت مشرق جریان می یابد» (آراء و همکاران، ۱۳۹۱: ۴۲).



شکل ۱. محدوده حوضه آبریز رودک و زمین شناسی آن

مواد و روش‌ها

به منظور بررسی تکتونیک فعال در محدوده بررسی شده در این پژوهش، ابتدا با استفاده از نقشه‌های زمین‌شناسی ۱:۱۰۰۰۰۰ فشم، بلده، مرزن‌آباد و تهران که محدوده حوضه آبریز در آنها واقع شده است، به بررسی تعداد و نوع گسل‌های منطقه اقدام شد و با حضور در منطقه، آثار و شواهد تکتونیک فعال در سطح حوضه از جمله گسل خوردگی‌ها، جدایی قطعات سنگی بزرگ و کوچک از دامنه‌های پرشیب که احتمال خطر ریزش در منطقه را افزایش می‌دهد، تأثیر سنگ‌های شکسته بر الگوی آبراهه‌ها و نبودهای رسوبی بر روی برخی برجستگی‌ها مشاهده و بررسی شد. همچنین، تحلیل داده‌های ژئودینامیکی ایستگاه دائمی گرمابدرا در حوضه رودک نیز بر مبنای داده‌های پنج ساله (۲۰۰۶ تا ۲۰۱۰) استفاده شد. سپس با استفاده از تصویر ماهواره‌ای کارت‌توست با قدرت جداسازی ۲/۵ متر، محدوده تقریبی حوضه آبریز رودک و زیر‌حوضه‌های موجود در آن مشخص شد و درنهایت، با استفاده از الگوی ارتفاع رقومی DTM و نرم‌افزارهای TecDEM1.0 و ArcGis10.0 محدوده کلی حوضه رودک و سپس زیر‌حوضه‌های آن مشخص شد. به منظور بررسی فعالیت‌های تکتونیکی در سطح منطقه، با استفاده از نرم‌افزار TecDEM، ابتدا می‌باشد نقشه DEM منطقه را به صورت Depression less در می‌آوردیم؛ به این شکل که نقشه ارتفاعی منطقه باید خالی از هرگونه سطوح ناپیوستگی باشد. پس از آماده ساختن نقشه رقومی ارتفاع منطقه، به محاسبه شاخص‌ها و تحلیل وضعیت تکتونیکی مطابق مراحل زیر اقدام شد.



شکل ۲. گسل خوردگی بر روی سنگ‌های مقاوم (سمت چپ) و سنگ‌های خردشده و گسل خوردگی بر روی دامنه همراه با سازه‌های محافظتی ژئوتکستال (سمت راست)

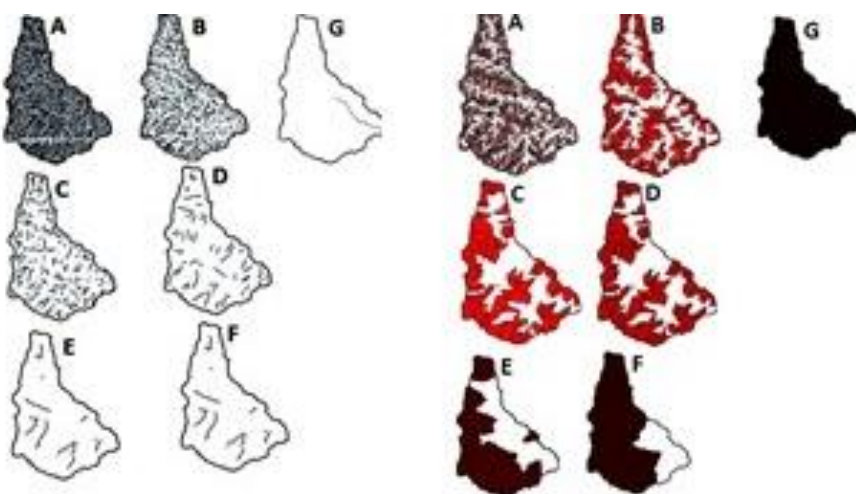
محاسبه جهت جریان به روش الگوریتم D8

برای هر الگوی ارتفاع رقومی، جهت جریان نشان‌دهنده حرکت سطحی آب به پیکسل‌های همسایه است. از الگوهای متداول برای تعیین جهت جریان، روش الگوریتم D8 یا جهت جریان منفرد SFD را می‌توان نام برد. در الحاقیه TecDEM بر پایه نرم‌افزار متلب از روش الگوریتم D8 برای محاسبه جهت جریان استفاده می‌شود؛ در این روش، مسیرهای جریان هر پیکسل که بر روی پیکسل پایین‌تر با شیب کمتر می‌ریزد، محاسبه و جهت‌های جریان تعیین

می‌شود. برای این منظور، ابتدا به تهیه یک نقشه ارتفاعی با کمترین ناهماهنگی نیاز است. این روش بر استخراج جریان‌های مرکزی روی دره‌ها و کاهش جریان‌های موازی تمرکز می‌کند.

استخراج آبراهه‌ها و زیرحوضه‌ها به روش استرالر

استخراج شبکه آبراهه شامل دو گام اصلی است: ۱. شناسایی تمام آبراهه‌های بالادست؛ ۲. مشخص کردن ترتیب رده استرالر آبراهه‌ها. به این منظور، الحاقیه TecDEM از اطلاعات مربوط به جهت‌های جریان و سرچشمه‌ها بهره می‌گیرد. سرانجام آبراهه‌های استخراج شده توسط خود نرم‌افزار به صورت فایل‌های وکتور درمی‌آید. استخراج حوضه در نرم‌افزار TecDEM نیز این‌گونه است که حوضه‌های محدوده مورد بررسی براساس ترتیب رده‌های استرالر رودخانه، استخراج می‌شود؛ این بخش از دو گام اساسی تشکیل شده است: ۱. ترسیم کد جریان واحدی برای هر پیکسل؛ ۲. تعیین کد شناسه واحدی برای تمام پیکسل‌های بالای یک آستانه مورد نیاز.



شکل ۳. تصویر ساده‌ای از رده‌بندی رده‌های آبراهه (چپ) و مساحت (راست) به روش استرالر در نرم‌افزار TecDEM، در زیرحوضه آهار.

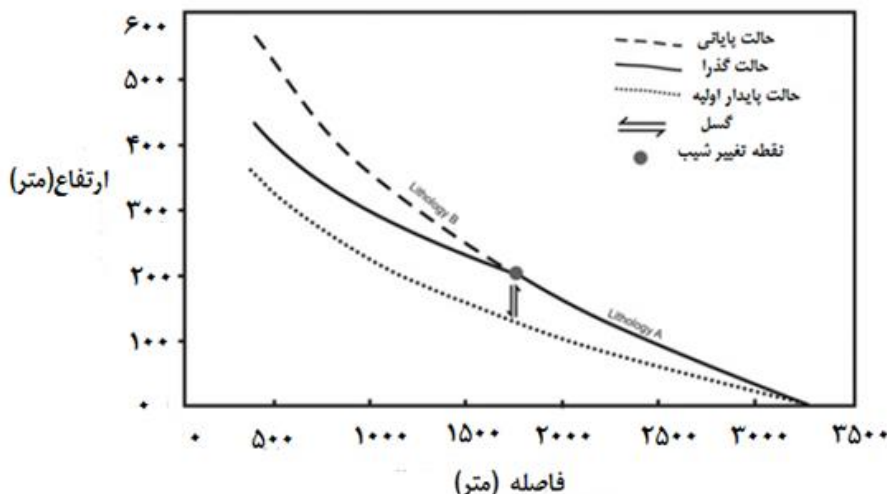
(A) آبراهه و مساحت رده ۱؛ (B) آبراهه و مساحت رده ۲؛ (C) آبراهه و مساحت رده ۳؛ (D) آبراهه و مساحت رده ۴؛ (E) آبراهه و مساحت رده ۵؛ (F) آبراهه و مساحت رده ۶؛ (G) آبراهه و مساحت رده ۷.

پس از مشخص کردن آبراهه‌ها و رده‌بندی آنها و استخراج حوضه‌های آبریز محدوده، عملیات تجزیه و تحلیل آغاز می‌شود که به ترتیب زیر است.

تعیین عطف نقطه‌های شیب و محاسبه شاخص‌های شیب و فرورفتگی

تعیین نقطه‌های شیب، ابزار قدرتمندی برای درک کنش و واکنش لندفرم‌ها به کاهش سطح پایه و جریان رسوب‌های

مربوط به حوضه‌های آبریز است. تجزیه و تحلیل فرورفتگی و شیب از شاخص‌های قدرتمند برای بررسی نوزمین ساخت بدوسیله تجزیه و تحلیل جریان‌های رودخانه‌ای است که از مناطق فعال تکتونیکی می‌گذرند. مقادیر فرورفتگی θ و شیب K_s به مورفولوژی حوضه، نوع سنگ بستر و ویژگی‌های هیدرولیکی آن بستگی دارد. در نرم‌افزار TecDEM پس از تعیین نقطه‌های تغییر شیب در آبراهه، مقدار فرورفتگی و شیب با استفاده از تحلیل‌های مربوط به شیب آبراهه محاسبه می‌شود. مقادیر زیاد فرورفتگی و مقادیر اندک شیب بیان کننده وجود زمین‌های بالغ تا پیر و بر عکس، مقادیر اندک فرورفتگی و زیاد شیب بیان کننده زمین‌های جوان با مقدار افزایش زیاد و فعال تکتونیکی است. این دو شاخص، سه مرحله را در رابطه با مورفولوژی آبراهه‌ها نشان می‌دهد: (الف) حالت پایدار و ثابت اولیه؛ (ب) حالت گذرا؛ (ج) حالت نهایی. در شکل ۵، این مراحل بر روی آبراهه‌ای فرضی نشان داده شده است (گلوئن و شهرزاد، ۲۰۱۱: ۲۶۵).



شکل ۴. همان‌گونه که از شکل پیداست، مقادیر فرورفتگی θ در نیمرخ‌های اولیه و نهایی، به طور تقریبی ثابت است؛ اما مقادیر شیب K_s در نیمرخ نهایی بیشتر می‌شود؛ زیرا با گذشت زمان، مقدار فعالیت تکتونیکی افزایش می‌یابد تا در نهایت، بار دیگر آبراهه به حالت پایداری اولیه خود می‌رسد (گلوئن و شهرزاد، ۲۰۱۱: ۲۶۵).

محاسبه شاخص گرادیان شیب رودخانه

این شاخص با استفاده از رابطه ۱ محاسبه می‌شود (همدونی، ۲۰۰۸: ۱۳):

$$sl = \frac{\Delta H}{\Delta L} \quad (1)$$

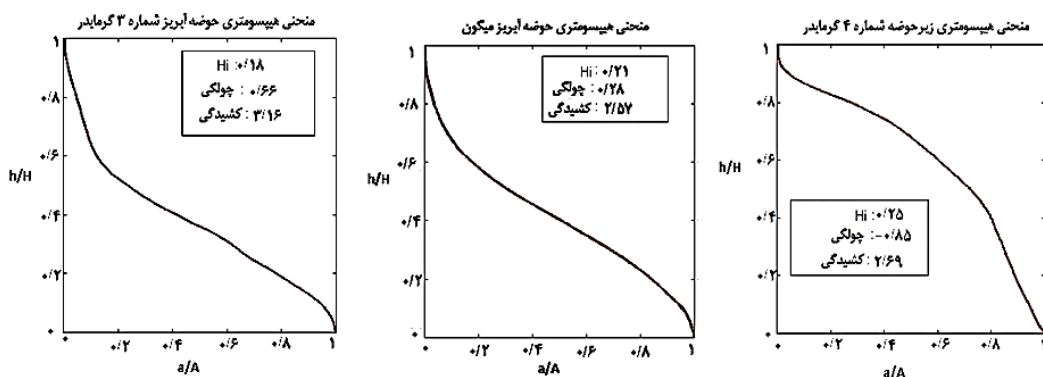
در این رابطه، H ارتفاع و L طول رودخانه است. محاسبه شاخص گرادیان شیب رودخانه آسان است؛ در وهله اول باید جریان مورد نظر را به فاصله‌های مشخص و متواالی تقسیم کرد. تفاوت ارتفاعی و مسافتی بین دو محدوده متواالی و فاصله بین مرکز محدوده برای محاسبه این شاخص استفاده می‌شود. تغییرات مقدار این شاخص با تغییرات سنگ‌شناسی و وجود گسل‌های جوان ارتباط دارد. افزایش مقادیر این شاخص بیان کننده افزایش فعالیت تکتونیکی در منطقه است (همدونی، ۲۰۰۸: ۱۳).

نقشه‌های همپایه

شبکه‌های آبراهه‌ای استخراج شده در نرم‌افزار TecDEM، با شاخص استرالر رده‌بندی می‌شود. در روش استرالر، تغییر در رده آبراهه‌ها با توپوگرافی رابطه‌ای قوی دارد. رودخانه‌های دارای رده استرالری یکسان از رخدادهای زمین‌شناسی برابر و درنتیجه، سن یکسانی برخوردارند. توزیع مکانی رودها، طول کلی و انحراف موجود در آنها نماینده قوی‌ای برای بررسی زمین‌شناسی زیرین است. دینامیک رده‌های استرالری رودخانه و تفاوت‌های توپوگرافی را به وسیله نقشه‌های همپایه می‌توان بررسی کرد. نقشه‌های همپایه، سطوح فرسایشی را نشان می‌دهد که در نتیجه رخدادهای تکتونیکی یا رخدادهای فرسایشی شکل‌گرفته است. در این پژوهش‌ها، نقشه‌های همپایه از راه درون‌بابی ارتفاعات در رده‌های دوم و سوم استرالر آمده می‌شود. تغییرات سریع در نقشه‌های همپایه، مکان احتمالی گسل‌ها یا تضادهای زمین‌شناسی را نشان می‌دهد (گلوئن و شهرزاد، ۲۰۱۱).

شاخص منحنی هیپسومتری

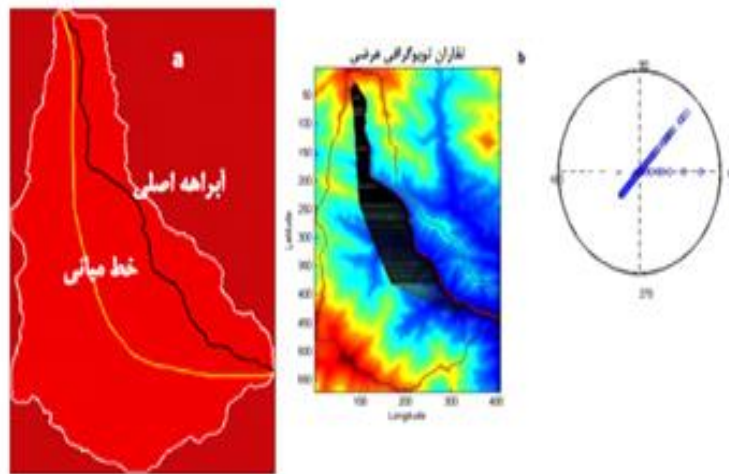
منحنی هیپسومتری از نسبت مساحت نسبی به ارتفاع نسبی حوضه به دست می‌آید؛ این گونه که برای به دست آوردن مساحت نسبی از رابطه $\frac{a}{A}$ استفاده می‌شود که a مساحت جزئی از هر سطح ارتفاعی و A مساحت کل حوضه است. برای به دست آوردن ارتفاع نسبی نیز از رابطه $\frac{\Delta e}{\Delta E}$ استفاده می‌شود؛ در این رابطه، Δe اختلاف ارتفاع مقدار ارتفاعی هر طبقه با کمترین ارتفاع حوضه و ΔE اختلاف ارتفاع کل سطح حوضه است. از جمله کاربردهای فراوان منحنی‌های هیپسومتری، نشان دادن مرحله پیشرفت چشم‌اندازها از جوانی به بلوغ و درنهایت، پیری است. حوضه‌های جوان دارای نیمرخ‌های محدب و حوضه‌های بالغ تا پیر دارای نیمرخ‌های مقعر و فرورفته است (جباری و همکاران، ۱۳۹۱: ۳۰). نرم‌افزار TecDEM به صورت خودکار و با توجه به نقشه‌های رقمی ارتفاعی DEM، برای هر منطقه منحنی هیپسومتری ترسیم کرده، مقادیر انتگرال هیپسومتری، چولگی و کشیدگی منحنی را محاسبه می‌کند (گلوئن و شهرزاد، ۲۰۱۱: ۲۴۰).



شکل ۵. منحنی هیپسومتری بیان کننده شرایط فرسایش یا تکتونیکی حاکم بر حوضه‌ها. از چپ به راست: جوان، بالغ و پیر

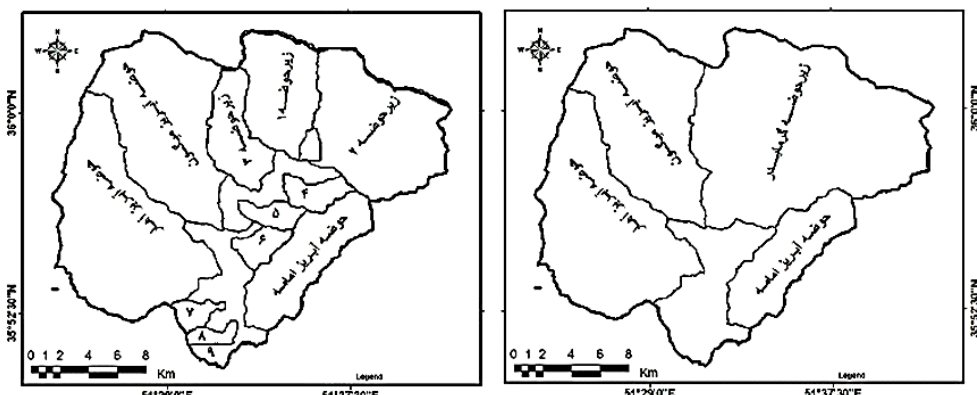
شاخص تقارن توپوگرافی عرضی

شاخص دیگری که در تحلیل‌های TecDEM استفاده می‌شود، شاخص تقارن توپوگرافی عرضی است که کوکس (۱۹۹۴) به منظور بررسی جابه‌جایی آبراهه‌ها در حوضه‌های آبریز پیشنهاد داد. این شاخص، سنجش و ارزیابی سریع مقدار کج شدگی حوضه‌ها بر اثر فعالیت‌های زمین‌ساخت را میسر می‌کند. این کج شدگی با استفاده از سه شاخص خط مرکزی حوضه، فاصله آن نسبت به خط تقسیم آب و رودخانه اصلی و فاصله آن نسبت به خط مرز حوضه محاسبه می‌شود. برای تعیین خط مرکزی حوضه‌های آبریز، روش‌های مختلفی وجود دارد؛ مانند روش انحنا فاصله، مورفولوژی ریاضی و پلی‌گون‌تی‌سف. در نرم‌افزار اخیر از روش انحنا فاصله برای محاسبه خط مرکزی حوضه استفاده می‌شود. در این روش، تمام پیکسل‌های مرز حوضه یک‌به‌یک و فاصله اقلیدسی آنها تا پیکسل‌های دیگر محاسبه می‌شود. توزیع فضایی بیشترین انحنا، مکان احتمالی خط میانی حوضه را نشان می‌دهد. در نرم‌افزار TecDEM رابط کاربر گرافیکی، خط میانی حوضه و آبراهه اصلی را مشخص می‌کند. شاخص T دارای برداری با جهت‌گیری صفر تا یک است؛ در حوضه‌های متقارن، این شاخص برابر صفر است و هرچه شکل حوضه آبریز به‌سمت عدم تقارن پیش رود، به یک نزدیک می‌شود. همچنین، می‌توان با توجه به محاسبات انجام‌گرفته در این نرم‌افزار، جهت کج شدگی حوضه‌ها را نیز به‌دست آورده، بررسی کرد (گلوبن و شهرزاد، ۲۰۱۱: ۲۶۴).



شکل ۶. محاسبه شاخص تقارن توپوگرافی عرضی در نرم‌افزار TecDEM (حوضه آبریز آهار)

به منظور تحلیل مقدار فعالیت تکتونیکی حوضه آبریز رودک، ابتدا مرز زیرحوضه‌های اصلی به‌وسیله نرم‌افزار ArcGIS10.0 مشخص شد و سپس با استفاده از نرم‌افزار TecDEM بر پایه نرم‌افزاری متلب، نقشه ارتفاع رقومی هر زیرحوضه به نرم‌افزار انتقال داده شد و بار دیگر، زیرحوضه‌ها برای هر قسمت به‌وسیله نرم‌افزار بر پایه رده استرالری هر زیرحوضه مشخص شد. حوضه‌های میگون، امامه و آهار به صورت زیرحوضه مستقلی درآمد؛ در حالی که از زیرحوضه گرمابدر، شش زیرحوضه استخراج و با شماره‌گذاری مشخص شد. در قسمت انتهایی حوضه نیز سه زیرحوضه کوچک با نام‌های زیرحوضه‌های ۸، ۷ و ۹ استخراج و نامگذاری شد. سپس محاسبات مربوط به مقدار فعالیت نوزمین‌ساختی در هر حوضه به‌وسیله الگوریتم TecDEM انجام گرفت.



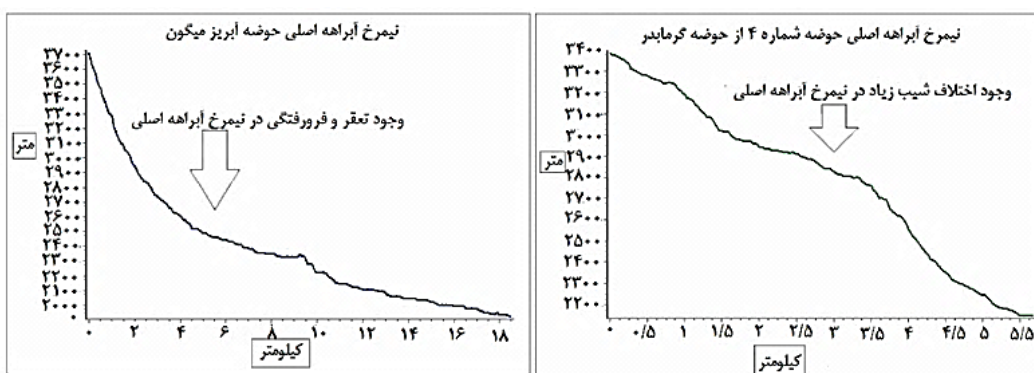
شکل ۷. سمت چپ زیرحوضه های اصلی و سمت راست زیرحوضه های استخراج شده به وسیله الگوی TecDEM

نیمرخ طولی آبراهه های اصلی هر زیرحوضه

گام نخست برای انجام دادن محاسبات مربوط به نرم افزار TecDEM ترسیم نیمرخ طولی رودخانه هاست تا شاخص های ضروری تحلیل از جمله شاخص های فرورفتگی، شیب و گرادیان شیب رودخانه محاسبه شود؛ حتی شکل ظاهری نیمرخ آبراهه ها هم ممکن است اطلاعات اولیه درباره مقدار فعالیت تکتونیکی مناطق در اختیار ما قرار دهد (گلوئن و شهرزاد، ۲۰۱۱: ۲۵۴). برای مثال، نیمرخ طولی رودخانه اصلی زیرحوضه ۴ از حوضه آبریز گرمابدر دارای بیشترین اختلاف شیب است. اختلاف شیب، احتمال وجود تکتونیک فعال در منطقه را افزایش می دهد و نیمرخ رودخانه اصلی حوضه آبریز میگون نیز بیان کننده وجود تقرع و فرورفتگی بیشتر نسبت به دیگر آبراهه هاست که حاکمیت شرایط فرسایشی بیشتر در سطح حوضه را نشان می دهد (شکل ۸).

شاخص های فرورفتگی و شیب حوضه

براساس ویژگی های ژئومورفولوژیکی نیمرخ آبراهه های هریک از زیرحوضه های موجود در حوضه آبریز رودک، مقادیر فرورفتگی و شیب به وسیله نرم افزار تحلیلی TecDEM محاسبه شد (جدول ۱). با توجه به جدول ۱، کمترین مقدار فرورفتگی مربوط به زیرحوضه ۴ با -۰/۴۱ و بیشترین مقدار شیب نیز مربوط به همان زیرحوضه با ۳۸/۱۷ است. این شواهد مطابق آنچه گفته شد، ممکن است بیان کننده وجود فعالیت تکتونیکی بیشتر، نسبت به دیگر زیرحوضه ها در این محدوده باشد. بیشترین مقدار فرورفتگی و تقرع نیز مربوط به زیرحوضه میگون با ۰/۸۶ است.



شکل ۸. تفاوت نیمرخ آبراهه های اصلی زیرحوضه ۴ حوضه آبریز گرمابدر و حوضه آبریز میگون

جدول ۱. مقادیر شاخص‌های فرورفتگی و نسبیت زیر‌حوضه‌ها

زیر-حوضه‌های انتها		زیر-حوضه‌های گرماپلر					زیر-حوضه‌های میگون			حوضه آهار	
۹	۸	۷	۶	۵	۴	۳	۲	۱	۹	۸	۷
-۰/۴۲	-۰/۴۰	-۰/۰۹	-۰/۰۲	-۰/۰۴	-۰/۰۱	-۰/۰۴	-۰/۰۹	-۰/۰۶	-۰/۰۲	-۰/۰۳	-۰/۰۲
-۰/۰۵	-۰/۰۴	-۰/۰۶	-۰/۰۵	-۰/۰۲	-۰/۰۱	-۰/۰۳	-۰/۰۹	-۰/۰۶	-۰/۰۲	-۰/۰۳	-۰/۰۲
-۰/۰۳	-۰/۰۳	-۰/۰۸	-۰/۰۷	-۰/۰۵	-۰/۰۲	-۰/۰۱	-۰/۰۶	-۰/۰۳	-۰/۰۱	-۰/۰۲	-۰/۰۲
-۰/۰۹	-۰/۰۵	-۰/۰۹	-۰/۰۷	-۰/۰۵	-۰/۰۲	-۰/۰۱	-۰/۰۶	-۰/۰۳	-۰/۰۱	-۰/۰۲	-۰/۰۲
-۰/۰۶	-۰/۰۴	-۰/۰۸	-۰/۰۶	-۰/۰۴	-۰/۰۱	-۰/۰۲	-۰/۰۷	-۰/۰۴	-۰/۰۱	-۰/۰۲	-۰/۰۲
-۰/۰۷	-۰/۰۴	-۰/۰۹	-۰/۰۷	-۰/۰۵	-۰/۰۲	-۰/۰۱	-۰/۰۷	-۰/۰۴	-۰/۰۱	-۰/۰۲	-۰/۰۲
-۰/۰۸	-۰/۰۴	-۰/۰۹	-۰/۰۷	-۰/۰۵	-۰/۰۲	-۰/۰۱	-۰/۰۷	-۰/۰۴	-۰/۰۱	-۰/۰۲	-۰/۰۲
-۰/۰۹	-۰/۰۴	-۰/۰۹	-۰/۰۷	-۰/۰۵	-۰/۰۲	-۰/۰۱	-۰/۰۷	-۰/۰۴	-۰/۰۱	-۰/۰۲	-۰/۰۲
-۰/۰۹	-۰/۰۴	-۰/۰۹	-۰/۰۷	-۰/۰۵	-۰/۰۲	-۰/۰۱	-۰/۰۷	-۰/۰۴	-۰/۰۱	-۰/۰۲	-۰/۰۲

جدول ۲. مقادیر شاخص گردایان شیب رودخانه زیر جو پهده ها

شاخص گرادیان شب رودخانه

این شاخص در نرم افزار TecDEM برای تمام آبراهه‌های اصلی دوازده زیرحوضه موجود در منطقه محاسبه شد. برای محاسبه این شاخص، فاصله‌های پانصدتری در تمام زیرحوضه‌ها انتخاب شد. متوسط هر شاخص برای هر آبراهه، در جدول ۲ آورده شده است. مطابق مقادیر به دست آمده، بیشترین مقدار شاخص برابر با $714/39$ برای زیرحوضه ۴ و کمترین مقدار نیز برابر با $390/6$ متعلق به زیرحوضه ۲ است. متوسط این شاخص برای کل حوضه، برابر با $506/10$ و بیان کننده مقدار فعالیت تکتونیکی زیاد در سطح حوضه است.

شاخص تقارن توپوگرافی عرضی

مطابق با مقادیر به دست آمده، بیشترین مقدار این شاخص متعلق به زیرحوضه ۱ و ۳ برابر با $0/67$ و کمترین مقدار این شاخص نیز متعلق به زیرحوضه ۴ و برابر با $0/15$ است. متوسط شاخص تقارن توپوگرافی عرضی برای کل سطح حوضه نیز برابر با $0/36$ به دست آمد که بیشتر از صفر است و بیان کننده عدم تقارن در سطح حوضه رودک در جهت شمال غربی-جنوب شرقی است.

جدول ۳. مقادیر شاخص تقارن توپوگرافی عرضی زیرحوضه‌ها

زیرحوضه‌ها												شاخص تقارن توپوگرافی	عرضی		
زیرحوضه‌های گرمابد											حوضه آهار				
۹	۸	۷	۶	۵	۴	۳	۲	۱	میگون	امامه					
$0/54$	$0/54$	$0/21$	$0/25$	$0/32$	$0/15$	$0/67$	$0/29$	$0/67$	$0/35$	$0/20$	$0/22$	جهت کجشیدگی			
NW- SE	NW- SE	NW- SE	NW- SE	NW- SE	NW- SE	NW- SE	NE- SW	NW- SE	NW- SE	NE- SW	NW- SE	منحنی هیپسومتری			

منحنی هیپسومتری

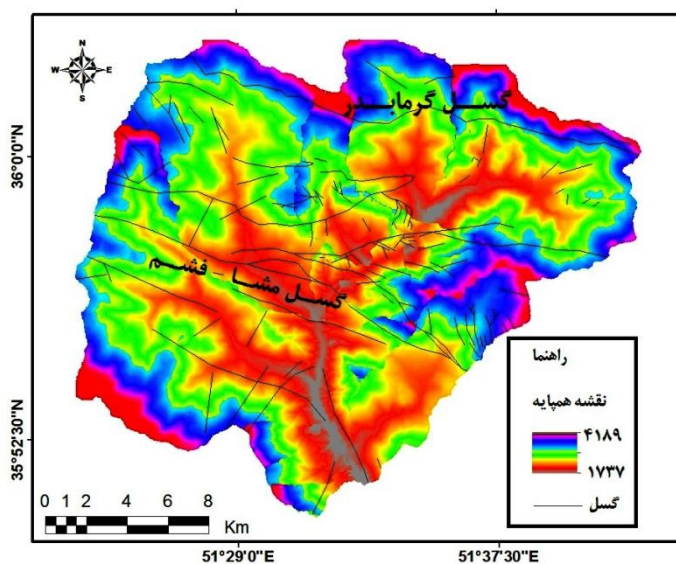
با توجه به منحنی هیپسومتری حوضه‌های بررسی شده، زیرحوضه ۴ بیشترین حالت تحدب را دارد (چولگی $-0/85$) که بیان کننده فعالیت زیاد تکتونیکی در منطقه است؛ اما به صورت کلی، شاخص‌های محاسبه شده منحنی هیپسومتری تمام زیرحوضه، نشان‌دهنده حاکمیت شرایط تکتونیکی فعال و دوره جوانی در سطح حوضه است.

جدول ۴. مقادیر شاخص‌های منحنی هیسومتری زیرحوضه‌ها

زیرحوضه‌ها										
زیرحوضه‌های انتهایی					زیرحوضه‌های گرمابد			حوضه میگون		
۹	۸	۷	۶	۵	۴	۳	۲	۱	آهار	امامه
-۰/۱۱	۰/۱۰	۰/۲۶	۰/۴۶	۰/۰۹	-۰/۸۵	۰/۶۶	۰/۲۴	۰/۲۹	۰/۲۱	۰/۵۰
۲/۱۵	۱/۸۲	۲/۱۱	۲/۷۵	۲/۱۳	۲/۶۹	۳/۱۶	۲/۵۰	۲/۰۴	۲/۵۷	۲/۰۷
۰/۲۱	۰/۱۹	۰/۲۳	۰/۱۶	۰/۰۹	۰/۲۵	۰/۱۸	۰/۱۹	۰/۲۰	۰/۲۱	۰/۲۳
انتگرال هیسومتری										

نقشه‌های همپایه

در نقشه‌های همپایه سطح حوضه، تغییرات توپوگرافی با تغییرات رنگ نشان داده شده است که در بسیاری از موارد، با توجه به نقشه گسل‌های موجود در منطقه می‌توان گفت وجود گسل‌ها در سطح حوضه، یکی از عوامل مؤثر بر تغییرات ارتفاعی حوضه و اختلاف زیاد ارتفاع (۴۱۸۹-۱۷۳۷) در سطح آن است. این نقشه‌ها به‌تنهایی و بدون وجود نقشه سامانه‌های گسلی منطقه نیز اطلاعاتی را درباره تأثیر ایجاد گسل در منطقه به‌دست می‌دهد. تغییرات سریع در نقشه‌های همپایه، مکان احتمالی گسل‌ها یا تضادهای زمین‌شناسی را نشان می‌دهد که این امر در سطح حوضه رودک نیز دیده می‌شود؛ به‌گونه‌ای که در محل برخورد گسل‌ها، تغییرات سریع در سطح نقشه همپایه محدوده مشاهده می‌شود. این تغییرات در بیشتر موارد، منطبق بر خطوط گسلی منطقه است.

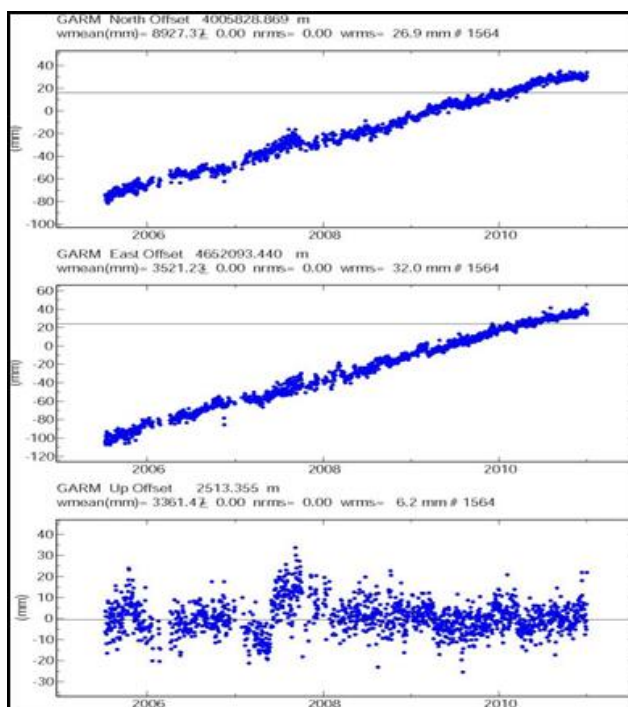


شکل ۹. نقشه همپایه منطقه

تجزیه و تحلیل داده‌های ژئودینامیک ایستگاه گرمابدر

سری‌های زمانی پاسخ‌های روزانه حرکات گسل‌های اصلی منطقه در ایستگاه گرمابدر، برای هریک از سه مؤلفه مختصات E (مؤلفه شرقی- غربی)، N (مؤلفه شمالی- جنوبی) و مؤلفه H (ارتفاع) به دست آمد. هر نمودار سری زمانی دارای یک محور عمودی است که نشان‌دهنده مقدار جابه‌جایی بر حسب میلی‌متر است و یک محور افقی که نشان‌دهنده زمان بر حسب سال میلادی است. براساس محاسباتی که کارشناسان سازمان نقشه‌برداری کشور انجام دادند، سرعت تغییرات مؤلفه‌های یادشده نسبت به صفحه اوراسیا در ایستگاه گرمابدر، برای مؤلفه شمالی- جنوبی $10/86$ و برای مؤلفه شرقی- غربی $0/61$ میلی‌متر در سال است. با توجه به نمودار سری‌های زمانی می‌توان بیان داشت که حرکت مؤلفه شمالی- جنوبی در طول مدت پنج سال با سرعت و روند منظم و به صورت صعودی به سمت شمال و جهت حرکت مؤلفه شرقی- غربی با سرعت و روند منظم به سمت شرق بوده است. «جهت تغییرات در منطقه مورد مطالعه به صورت کلی، شمال شرقی است که دلیل عمدۀ آن را می‌توان رانگی مورب پوسته اقیانوسی دریایی خزر به زیر بخش شمالی کشور (البرز) دانست که نقش مهمی در تغییرات پوسته زمین و تحریک گسل‌های مهم منطقه داشته است.» (آراء و همکاران،

(۱۳۹۱: ۴۳)



شکل ۱۰. نمودار سری زمانی ایستگاه دایمی GPS شکل ۹ گرمابدر در حوضه بررسی شده. از بالا به پایین: مؤلفه شمالی- جنوبی، مؤلفه شرقی- غربی و مؤلفه ارتفاع (براساس داده‌های ژئودینامیکی سازمان نقشه‌برداری ایران)

نتیجه‌گیری

با توجه به مقادیر شاخص‌های به دست آمده و تحلیل‌های انجام‌گرفته به روش‌های میدانی و پژوهش‌های تحلیلی به کمک شاخص‌های تکتونیک ژئومورفولوژی و نقشه همپایه مقادیر به دست آمده از شاخص‌های فرورفتگی θ ، شیب K_S (جدول

(۱) شاخص گراديان شب رودخانه (جدول ۲)، شاخص تقارن توپوگرافی عرضی T (جدول ۳)، نقشه همپایه (شکل ۹)، منحنی هیپسومتری (شکل‌های ۲ تا ۸ و جدول ۴)، پژوهش‌های میدانی صورت گرفته در سطح ناحیه و شواهد تکتونیکی موجود در آن و تحلیل سری‌های زمانی داده‌های ژئودینامیکی ایستگاه گرمابدرا، وجود تکتونیک فعال در سطح حوضه اثبات می‌شود. در این میان، زیرحوضه ۴ از حوضه گرمابدرا، بیشترین فعالیت و حوضه میگون، کمترین فعالیت تکتونیکی را براساس شاخص‌های مبتنی بر مقدار تغیر، شب و شاخص گراديان شب رودخانه دارد؛ در حالی که به لحاظ مقدار فعالیت تکتونیکی براساس شاخص تقارن توپوگرافی عرضی، زیرحوضه‌های ۱ و ۳ بیشترین کج شدگی را نشان می‌دهند. همچین، نقشه همپایه منطقه تأثیر تکتونیک بر تغییرات توپوگرافی و درنتیجه، تغییر رده‌بندی آبراهه‌های حوضه را تأیید می‌کند. منحنی‌های هیپسومتری تمام زیرحوضه‌ها نیز وجود شرایط جوانی را در سطح حوضه آبریز رودک نشان می‌دهد و تأیید می‌کند که زیرحوضه ۴، بیشترین مقدار تحدب را دارد. با وجود اختلاف در مقادیر شاخص‌های بررسی شده، میانگین‌ها بیان کننده حاکمیت تکتونیک فعال در سطح این ناحیه و قرارگیری حوضه در شرایط جوانی است. تطابق پژوهش‌های میدانی انجام گرفته و مطالعات کتابخانه‌ای صورت گرفته درباره نقشه‌های زمین‌شناسی ۱:۱۰۰۰۰۰ منطقه و داده‌های ژئودینامیک حوضه با بررسی‌های انجام گرفته به وسیله TecDEM، نشان‌دهنده کاربرد مناسب این الگو در تحلیل‌های تکتونیکی مناطق است؛ به ویژه برای ناحیه‌هایی که شاید امکان پژوهش میدانی آنها میسر نیست.

منابع

- آراء، ۵.، رامشت، م.، یمانی، م. و شایان، س. (۱۳۹۱). «تحلیل مدیریتی- رفتاری لندرم‌های آشفته و نرمال حوضه آبریز جاجرود». *جغرافیا و برنامه‌ریزی محیطی*. س. ۲۳. ش. ۲. ص ۳۵-۵۲.
- جباری، ن.، ثروتی، م. و حسین‌زاده، م. (۱۳۹۱). «مطالعه مورفو-تکتونیک فعال حوضه آبریز حصارک (شمال غرب تهران) با استفاده از شاخص‌های مورفومتریک». *پژوهش‌های ژئومورفولوژی کمی*. س. ۱. ش. ۲. ص ۱۷-۳۴.
- حبیباللهیان، م. و رامشت، م. (۱۳۹۱). «کاربرد شاخص‌های ارزیابی تکتونیک جنبای در برآورد وضعیت تکتونیک فعال در برآورد وضعیت تکتونیکی بخش علیای زاینده‌رود». *جغرافیا و توسعه*. س. ۱۰. ش. ۲۶. ص ۹۹-۱۱۲.
- مددهی، ع.، رضابی‌مقدم، م. و رجایی، ع. (۱۳۸۳). «تحلیل فعالیت‌های نئوتکتونیک با استفاده از روش‌های ژئومورفولوژی در دامنه‌های شمال غربی تالش (باغوداغ)». *پژوهش‌های جغرافیایی*. س. ۳۶. ش. ۴۸. ص ۱۲۳-۱۳۸.
- کره‌ای، م. و کیانی، ط. (۱۳۸۳). «لرزه‌خیزی فلات ایران با نگرشی ویژه بر تهران». *گزارشی از وزارت صنایع و معادن و سازمان زمین‌شناسی و اکتشافات معدنی کشور*. تهیه شده در پایگاه ملی داده‌های علوم زمین. ص ۱-۹۷.
- مقصودی، م. و کامرانی دلیر، ح. (۱۳۸۷). «ازرسایی نقش تکتونیک فعال در تنظیم کانال رودخانه‌ها (مطالعه موردنی: رودخانه تجن)». *پژوهش‌های جغرافیای طبیعی*. س. ۴۰. ش. ۳۷. ص ۳۷-۵۵.
- مقصودی، م. (۱۳۸۷). «بررسی عوامل مؤثر در تحول ژئومورفولوژی مخروط‌افکنه‌ها (مطالعه موردنی: مخروط‌افکنه جاجرود)». *پژوهش‌های جغرافیای طبیعی*. سال ۳۷، ش. ۶۵. ص ۷۳-۹۲.
- یمانی، م.، کامرانی، ح. و باقری، س. (۱۳۹۲). «مورفومتری و ارزیابی شاخص‌های ژئومورفیک برای تعیین میزان فعالیت نوزمین ساخت در حوضه آبریز چله (زاگرس شمال غربی)». *فصلنامه تحقیقات جغرافیایی*. س. ۲۹. ش. ۹۷. ص ۱-۲۶.

- Burbank, D. and Anderson, R. (2011). Tectonic Geomorphology. Edit2. Blackwell Publishing.
- Cox,Rt,1994, Analysis of drainage basin symmetry as a rapid technique to identify areas of possible quaternary tilt-block tectonics: an example from the mississippi embayment .Bulltin of geological society of America106. pp. 571-581.
- Dehbozorgi, M., Pourkermani, M., Arian, M., Motamedi, H. and Hosesini, A. (2010). "Quantitative Analysis of Relative Tectonic Activity in the Sarvestan Area central Zagros". Iran Geomorphology. Vol. 13. No. 32. pp.1-13. (In Persian).
- Gloauen, R. and Shahzad, F. (2011). "Tecdem, A Matlab Based Toolbox for Tectonic Geomorphology (Drainage Network Processing and Stream Profiles Analysis)". Remote Sensing Group, Institute of Geology Freiberg University of Mining & Technology, Computer and Geoscience. Vol. 20. No. 34. pp. 250-260.
- Gloauen, R., Shahzad, F. (2011). "Tecdem, A Matlab Based Toolbox for Tectonic Geomorphology (Surface Dynamics and Basin Analysis)". Remote Sensing Group, Institute of Geology Freiberg University of Mining & Technology, Computer and Geoscience. Vol. 20. No. 34. pp. 261-271.
- Habibolahiyani, M. and Ramesht, M.H. (2012). "The use of indices of active tectonics in the estimation of the upper tectonic Zayanderud". Geography and Development. Vol. 10. No. 26. pp. 99-112. (In Persian).
- Hamdouni, R. (2008). "Assessment of relative Active tectonic south border of sierra Nevada". Geomorphology. Vol. 96. No. 32. pp.1-13.
- Jabari, N., Servati, M., and Hossein-Zadeh, M., (2012). "Active Morphotectonic study catchment Hisarak Using morphometric parameters". Quantitative Geomorphology Research. Vol. 1. No. 2. pp. 17-34. (In Persian).
- Karei, M. and Kiani.T. (2004). "Seismicity plateau of Tehran with a particular approach to Tehran". A report from the Ministry of Industries and Mines and the Geological country. Provided in the national data base of Geosciences. pp. 1-97. (In Persian).
- Keller, E.A. and Pinter, N. (1996). "Active Tectonics: Earthquakes, Uplift and Land Escapes". Prentice Hall Publication. London. pp. 136-145.
- Madadi, A., Rezaei-Moghadam, M. and Rajaei, A. (2004). "Neotectonic activity analysis using geomorphology at the foothills northwest of Talesh (Baghrodagh)". Geographical research. Vol. 36. No. 48. pp. 123-138. (In Persian).
- Maghsoudi, M. and Kamrani-Dalir, H. (2008). "Evaluation of active tectonics in the regulation of river channels Case Study: Tajan River". Geographical research. Vol. 40. No. 64. pp. 37-54. (In Persian).
- Maghsoudi, M. (2008). "Factors affecting the development of alluvial fans Geomorphology (Case study Jajrood Fans)". Geographical research. Vol. 37. No. 65. pp. 73-92. (In Persian).
- Morrisava, M. and Hack, J. (1985). Tectonic Geomorphology. Boston: Unwind Hyman Press.
- National Cartographic Survey. 2.5 meter resolution Kartosat satellite image.
- National Cartographic Survey. Specifications Garmabdar permanent Geodynamic station (2006-2010).
- Stanly, E. (2000). Active Tectonic Alluvial River. Cambridge University Press.
- State Geological Survey. 1:100000 Maps. Baladeh, MarzanAbad, Fasham, Tehran.
- Verrios, S.V., Zygori, S. and Kokkalas, (2004). "Morphotectonic Analysis in the Eliki Fault Zone (Gulf of Corinth, Greece)". Bulletin of the Geological Society of Greece. Vol. 36. No. 25. pp. 1706-1715.
- Virant, J. (2003). "Response of Active tectonics on the Alluvial Baghmati River Himalayan Foreland basin". Eastern India. No. 10. pp. 336-359.
- Yamani, M., Kamrani-Dalir, H. and Bagheri, S. (2013). "Morphometric and geomorphic assessment criteria for determining the amount of neotectonic activity in Cheleh Basin (northwestern Zagros)". Journal of Geographical Research. Vol. 29. No. 97. pp. 1-26. (In Persian).